

## แบบจำลองการฉีดพลาสติก ในสภาวะของเหลว Simulation Polymer Molding in Filling Stage

ดร. จากรุ๊ต เจริญสุข และ เมธี ใบงาม

ภาควิชาวิศวกรรมเครื่องกล คณะวิศวกรรมศาสตร์ สถาบันเทคโนโลยีพระจอมเกล้าเจ้าคุณทหารลาดกระบัง  
ถ.ฉลองกรุง เขตตลาดกระบัง กรุงเทพฯ 10520 โทร (02) 326-9987, โทรสาร (02) 326-9053

### บทคัดย่อ

บทความนี้เสนอ การประยุกต์ใช้โปรแกรมคอมพิวเตอร์ ในการจำลองการไหล และการกระจายตัวของพลาสติกเหลว ในแม่พิมพ์ฉีดพลาสติก ตัวแปรที่สนใจคือ อุณหภูมิพลาสติกเหลว, อุณหภูมิแม่พิมพ์, ความดันฉีด และความเร็วสกัดฉีด ผลลัพธ์ที่ได้จากการจำลองแสดงให้เห็นถึงพัฒนาการใน การไหลของพลาสติกเหลวที่ເງື່ອນໄຂต่างๆ กัน รวมถึงการเกิด Weld line ในแม่พิมพ์ซึ่งเป็นปัญหาสำคัญ ค่าที่เหมาะสมของตัวแปรที่สนใจได้ถูกนำมาใช้ในขั้นตอนการฉีดพลาสติกจริง โดยผลลัพธ์ที่ได้เมื่อเทียบกับการวิเคราะห์ด้วยโปรแกรมคอมพิวเตอร์ มีความสอดคล้องกันมาก และช่วยลดเวลาในการหาค่าตัวแปรที่เหมาะสม ด้วยการทดลองฉีดจริงแบบ Trial and error ได้มาก

### Abstract

This paper presents the use of CAE software to simulate flow of plastic in liquid stage on injection molding process. The parameter considered in this work are melting temperature, mold temperature, pressure and speed of screw feed. The results obtained in this work show the characteristic of flow at different condition. Also, the reasons of weld line problem are investigated. The suitable value of the parameters are applied in the real molding process. The result obtained at this stage consistent with the results obtained by using CAE software and helps cut down time consuming in finding the suitable parameter by trial and error in real experiment.

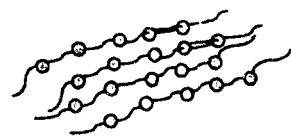
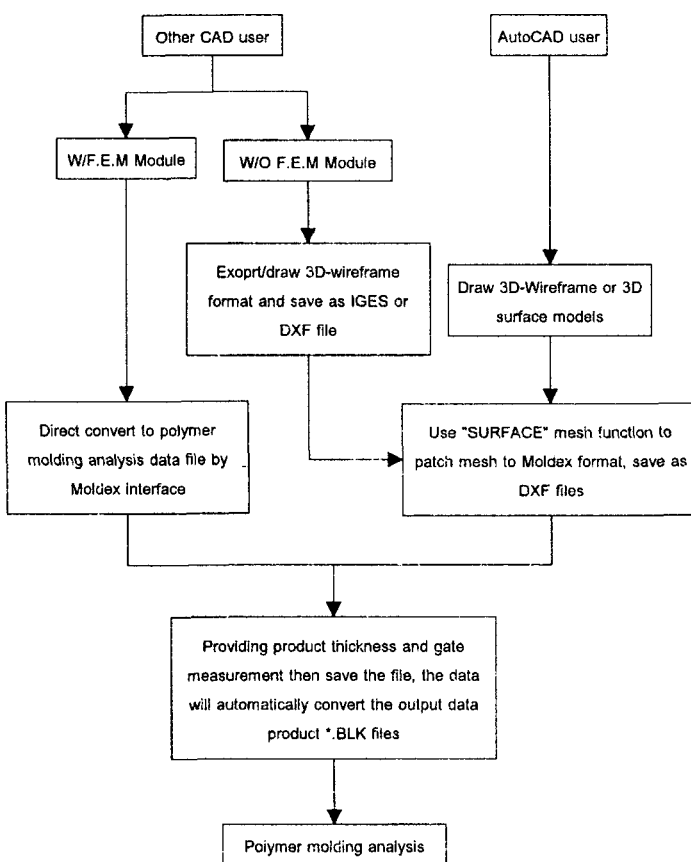
### 1. บทนำ

ในปัจจุบันผลิตภัณฑ์พลาสติกมีบทบาทมากขึ้น ต่อชีวิตประจำวัน โดยในอุตสาหกรรม ได้มีการผลิตสินค้าให้เพียงพอ ต่อผู้บริโภค ซึ่งผลิตภัณฑ์ที่ได้ด้วยเกิดความเสียหายน้อยที่สุด และหนึ่งในปัญหาที่พบมากคือ การเกิดเส้นแนวเชื่อม Weld line ในชิ้นงาน โดยในงานวิจัยที่ได้นำเสนอต่อไปนี้ ผู้เขียนได้แก้ปัญหาการเกิดเส้นแนวเชื่อม Weld line ในชิ้นงาน เครื่องทำน้ำอุ่น และพลาสติกที่ใช้คือ (ABS Acrylonitrile Butadiene Styrene) ในการฉีดพลาสติกแต่ละครั้ง จะมีตัวแปรควบคุมคือ อุณหภูมิหลอมเหลวพลาสติก, อุณหภูมิแม่พิมพ์, ความดันฉีด และ ความเร็ว Screw feed เดิมการหาค่าตัวแปรที่เหมาะสมต่อผลิตภัณฑ์ หนึ่งชิ้นจะใช้วิธีการทดลองซ้ำๆ Trial error จนกว่าจะได้ผลิตภัณฑ์ที่เกิดความเสียหายน้อยที่สุด ซึ่งวิธีดังกล่าวจะเสียเวลามาก และยังสิ้นเปลืองวัสดุเป็นจำนวนมาก โดยในงานวิจัยนี้ได้นำโปรแกรมคอมพิวเตอร์ช่วยในการสุมทดลอง Trial error เพื่อหาค่าตัวแปรควบคุมที่เหมาะสม ที่ทำให้เกิดเส้นแนวเชื่อม Weld line น้อยที่สุด

### วัตถุประสงค์

1. ลดวัสดุก่อนทำการผลิตจริงเนื่องจากการสุมทดลอง Trial error
2. หาราคาที่เหมาะสมสำหรับผลิตภัณฑ์หนึ่งชิ้น
3. กำหนดค่าตัวแปรควบคุมที่เหมาะสม เช่น อุณหภูมิ, ความเร็วสกัด, และ ความดัน
4. ลดปัญหาการเกิด รอยแนวเชื่อมของพลาสติก Weld line กับผลิตภัณฑ์ที่ผลิต

## 2. ขั้นตอนการสร้าง 3D Mesh สำหรับ Moldex



รูปที่ 2 แสดงถึงลักษณะเส้นใย Thermoplastics

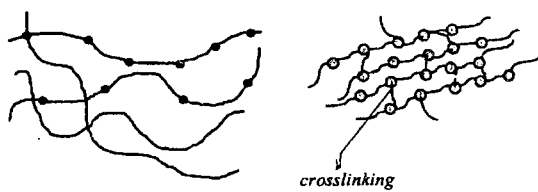
ตารางที่ 1 แสดงถึง Layer Control ในการขึ้นรูปแม่พิมพ์ด้วย AutoCAD

Type	Element Type	Definition for layer name	Color
POINT	Entrance Melt	EM\$	Green
	Entrance Gas	EG\$	Green
	Entrance Coolant	EC\$	Green
LINE	Runner Cold	RC\$1000X RC\$1000-2000X	Red
	Runner Hot	RH\$1000X RH\$1000-2000X	Red
	Channel Melt	CM\$1000X CM\$1000-2000X	Red
	Channel Gas	CG\$1000X CG\$1000-2000X	Red
	Channel Coolant	CC\$1000X	Red
3DFACE	Face Cavity	FC\$1000X FC\$1000-2000-3000-4000X	Not define
	Face Base	FB\$	Not define

## 3. คุณสมบัติของ เม็ดพลาสติก

3.1 Thermosetting คือ พลาสติกที่มีรูปร่างถาวรเมื่อผ่านกรรมวิธีการผลิตโดยใช้ความร้อน Heat และแรงอัด Compression หรือผ่านกรรมวิธีการผลิตประเภทหล่อพลาสติก Casting ซึ่งจะไม่สามารถหลอมละลายนำกลับมาใช้ใหม่ได้ เช่น 氨基โน อีพอกซี่, พีโโนลิก, โพลีเอสเตอร์, ชิลิโคน,

ยูเรเทน ฯลฯ



รูปที่ 1 แสดงถึงลักษณะเส้นใยพลาสติกแบบ Thermosetting

3.2 Thermoplastic คือ พลาสติกที่สามารถนำกลับมาใช้ใหม่ได้อีกหลังจากนำไปหล่อทำเป็นผลิต - ภัณฑ์ เนื่องจากแรงเยดเหนี่ยวของโมเลกุลเมลักษณะไม่ถาวร เช่น แอสเซทอล, อะคริลิค, ฟลูออโรคาร์บอน ฯลฯ

## 4. พารามิเตอร์ที่สำคัญในการฉีด

เพื่อให้ชิ้นงานที่ทำการฉีดมีคุณภาพที่ดี จะต้องคำนึงถึงเงื่อนไขที่สำคัญในการฉีด โดยทั่วไป จะพิจารณาเงื่อนไขดังนี้

### 4.1 อุณหภูมิพลาสติกเหลว

อุณหภูมิพลาสติกเป็นอุณหภูมิของพลาสติกเหลวที่ออกมากจากหัวฉีดในขณะทำการฉีด อุณหภูมิของพลาสติกเหลวที่ใช้ในการฉีดนั้นขึ้นอยู่กับชนิดของพลาสติกซึ่ง ในงานวิจัยนี้ได้ใช้พลาสติก (ABS Acrylonitrile Butadiene Styrene) ซึ่งมีอุณหภูมิหลอมเหลวอยู่ในช่วง [9]  $200^{\circ}\text{C} - 270^{\circ}\text{C}$

### 4.2 อุณหภูมิแม่พิมพ์

ความสามารถควบคุมอุณหภูมิได้ โดยใช้อุปกรณ์ควบคุมอุณหภูมิของหัวหรือ หัวมันที่เหล เข้าหมุนเวียนอยู่ในแม่

พิมพ์ ซึ่งอุณหภูมิในการปรับตั้งก็ขึ้นอยู่กับชนิดของพลาสติก โดยในงานวิจัยนี้ได้เลือกใช้ [9] พลาสติก (ABS Acrylonitrile Butadiene Styrene) อุณหภูมิแม่พิมพ์อยู่ในช่วง 50-90 °C

#### 4.3 เวลาในการฉีด

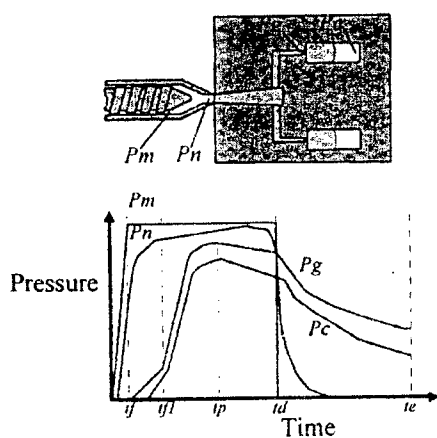
เวลาที่ใช้ในการฉีดพลาสติกเหลวเข้าแม่พิมพ์ ผู้ปฏิบัติการไม่สามารถจะปรับตั้งค่าได้โดยตรงที่ตัวเครื่องฉีด เพราะจะขึ้นอยู่กับความเร็วในการเคลื่อนที่ตามแนวแกนของ Screw Feed (ความเร็วฉีด) และระยะทางของพลาสติกเหลวที่อยู่หน้าตัวป้อน

#### 4.4 ความเร็วในการฉีด

ความเร็วในการฉีด เป็นความเร็วในการเคลื่อนที่ตามแนวแกนของ Screw feed เพื่อต้นพลาสติกเหลวที่อยู่หน้าป้อน เกลี่ยวนอนให้เหลวเข้าแม่พิมพ์ ความเร็วในการฉีดจะเกิดความคูปิกับความดันฉีด เพราะต้นกำลังขับมาจากจุดเดียวกัน ความเร็วในการฉีดจะเป็นตัวควบคุมความดันฉีด กล่าวคือถ้าเราใช้ความเร็วฉีดสูงขึ้นความดันฉีดก็จะมากขึ้นตาม แต่จะไม่เกินค่าสูงสุดที่เราตั้งไว้กับเครื่องความดันฉีด

#### 4.5 ความดันในการฉีด

ความดันฉีดเป็นความดันที่เกิดขึ้นได้ในหลายส่วน ซึ่งได้แสดงรายละเอียดไว้ตามรูปที่ 3



รูปที่ 3 แสดงถึงความดันที่เกิดขึ้นขณะฉีดพลาสติก ณ. ตำแหน่งต่างๆ

- $P_m$  คือความดันเริ่มต้น ซึ่งจะอยู่บริเวณ Screw นีด
- $P_n$  คือความดันที่เกิดขึ้นบริเวณ ช่องแคบก่อนฉีดเข้าแม่พิมพ์
- $P_g$  คือความดันที่เกิดขึ้น บริเวณท่อหัว แหล่งของพลาสติก
- $P_c$  คือความดันที่เกิดขึ้นภายในตัวแม่พิมพ์ ขณะทำการฉีด

#### 5. สมการที่ใช้ในการกำหนดคุณสมบัติของพลาสติกสำหรับ Moldex

Newtonian fluid

$$\eta = \eta_0$$

Power law

$$\eta = B \exp\left(\frac{T_b}{T}\right)^{n-1} \gamma$$

Modified cross model (01)

$$\eta = \frac{\eta_0}{1 + C \left( \eta_0 \dot{\gamma} \right)^{1-n}}$$

$$\eta_0 = B \exp\left(\frac{T_b}{T} + D \cdot P\right)$$

Modified cross model (02)

$$\eta = \frac{\eta_0}{1 + \left( \eta_0 \dot{\gamma} / \tau_s \right)^{1-n}}$$

$$\eta_0 = B \exp\left(\frac{T_b}{T} + D \cdot P\right)$$

Modified cross model (03)

$$\eta = \frac{\eta_0}{1 + \left( \eta_0 \dot{\gamma} / \tau_s \right)^{1-n}}$$

$$\eta_0 = D_1 \exp\left(\frac{-A_1(T - T_c)}{A_2 + T - T_c}\right)$$

$$T_c = D_2 + (D_3 \cdot P)$$

$$A_2 = A_{2b} + (D_3 \cdot P)$$

Constant sepc. Volume

$$V = V_0$$

Spencier Gilmore

$$V = V_0 + \frac{RT}{P + P_0}$$

Tait Model

$$V = V_0 \left( 1 - C \ln \left( 1 + \frac{P}{BT} \right) \right)$$

$$V_0 = b_1 \exp(-b_2 T)$$

$$BT = b_3 \exp(-b_4 T)$$

Modified Tait Model (01)

$$V = V_0 \left( 1 - C \ln \left( 1 + \frac{P}{BT} \right) \right)$$

$$V_0 = b_1 + b_2 T_{bar}$$

$$BT = b_3 \exp(-b_4 T_{bar})$$

$$T_{bar} = T - T_i$$

$$T_i = b_5 + b_6 P$$

Modified Tait Model (02)

$$V = V_0 \left( 1 - C \ln \left( 1 + \frac{P}{BT} \right) \right) + V_2$$

$$T_b = T - b_5$$

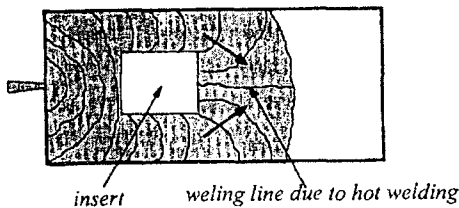
$$T_2 = b_5 + b_6 P$$

$$if (T \geq T_2)$$

$$\begin{aligned}
 V_0 &= b_{1\perp} + b_{2\perp} T_b \\
 BT &= b_{3\perp} \exp(-b_{4\perp} T_b) \\
 V_2 &= 0 \text{ else } V_0 = b_{1s} + b_{2s} T_b \\
 BT &= b_{3s} \exp(-b_{4s} T_b) \\
 V_2 &= b_s \exp(b_s T_b - b_s P)
 \end{aligned}$$

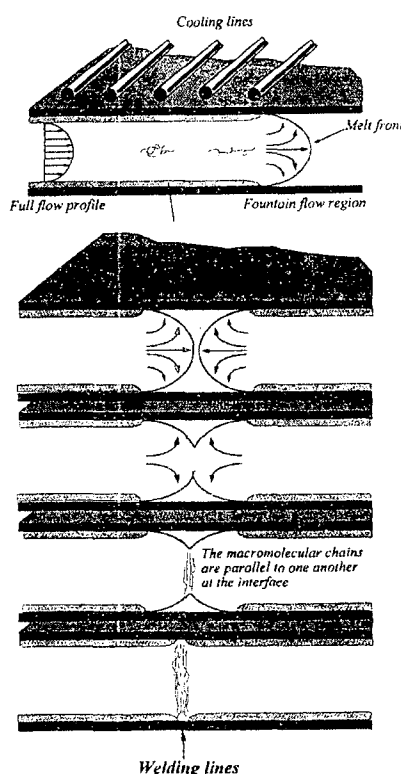
## 6. พฤติกรรม ที่ส่งผลทำให้เกิด เส้นแนวเชื่อม

(Weld line)



รูปที่ 4 แสดงถึงลักษณะของการเกิดเส้นแนวเชื่อม Weld line  
เนื่องจากอุณหภูมิสูง

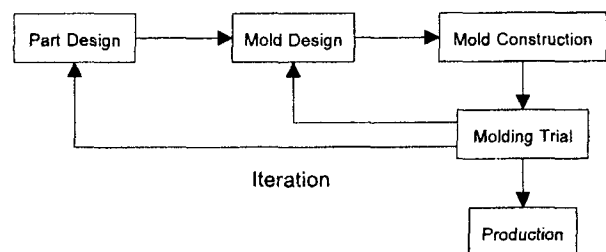
เส้นแนวเชื่อม Weld line เกิดขึ้นจากการไหลของพลาสติกเหลวผ่านช่องว่างหรือ Insert มาบรรจบกันโดยที่พลาสติกเหลวนั้นมีอุณหภูมิสูง ดังที่แสดงไว้ในรูปที่ 4



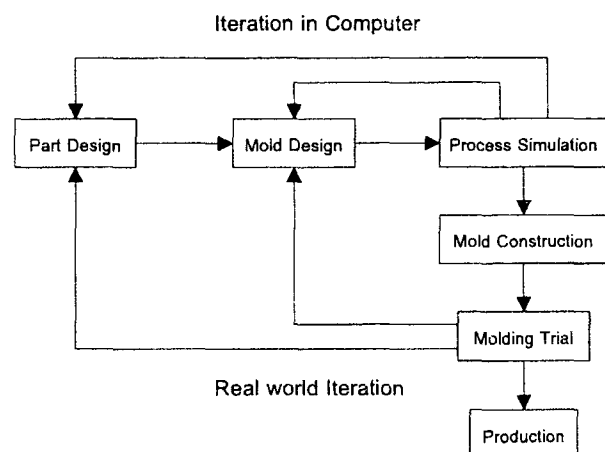
รูปที่ 5 แสดงถึงลักษณะของการเกิดเส้นแนวเชื่อม Weld line  
เนื่องจาก Molecular chain ที่วางตัวขนานกัน

ซึ่งจากการไหลรวมตัวกัน ของพลาสติกเหลวขณะนี้ด้วยบริเวณที่เริ่มหลอมรวมกันทำให้โครงร่างของ Molecular chain เรียงตัวในแนวขนาน เมื่อพลาสติกเย็นตัวลงบริเวณดังกล่าว จะทำให้เกิดรอยขึ้น ดังแสดงไว้ในรูปที่ 5

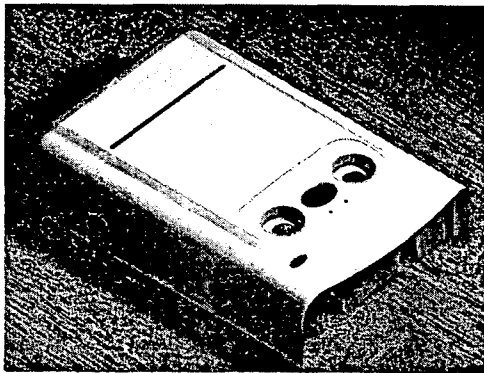
## 7. ขั้นตอนการทดสอบ



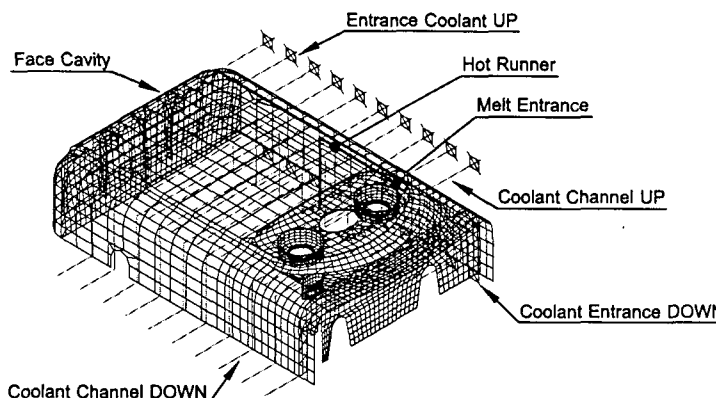
ทดลองหลังจากสร้าง Mold เสร็จแล้ว ในการหาค่าตัวแปรควบคุมก่อนนำไปผลิตจริง ใช้เวลาในการทดลองต่อแม่พิมพ์หนึ่งชิ้นประมาณ 18 – 20 ชั่วโมง สิ้นเปลืองวัสดุในการสุมทดลอง Trial error 100 – 150 กิโลกรัม



ทดลองด้วยโปรแกรมก่อนสร้าง Mold ในการหาค่าตัวแปรควบคุมก่อนนำไปผลิตจริง ใช้เวลาในการทดลองต่อแม่พิมพ์หนึ่งชิ้นประมาณ 10 - 15 ชั่วโมง ผลลัพธ์ที่ได้จากโปรแกรมนำไปสู่ทดลองจริงสิ้นเปลืองวัสดุในการทดลอง 20 - 50 กิโลกรัม และผลิตภัณฑ์ที่ทำการสุมทดลอง Trial error ผ่านตามมาตรฐานที่ได้กำหนดไว้

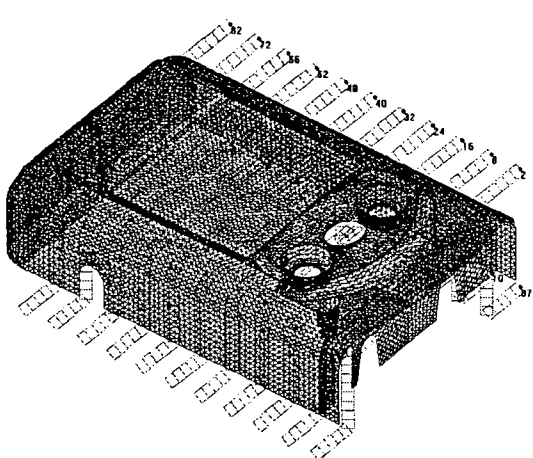


รูปที่ 6 หน้ากากเครื่องทำน้ำอุ่น



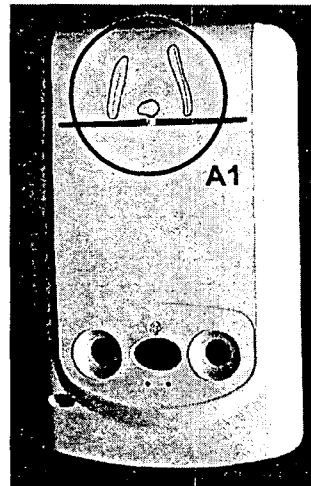
รูปที่ 7 แสดงลักษณะโครงสร้างของ Face Cavity  
หน้ากากเครื่องทำน้ำอุ่นด้วย AutoCAD

การสร้างพื้นผิว Surface 3 D หน้ากากเครื่องทำน้ำอุ่น ก่อนทำการ Mesh ในโปรแกรม Moldex สร้างขึ้นจาก AutoCAD โดยมีข้อกำหนดตามเงื่อนไขที่ได้ระบุไว้ใน Layer control ดังแสดงไว้ในตารางที่ 1 ซึ่งประกอบไปด้วย Face cavity, Cool channel, Hot runner, Cool entrance และ Melt entrance ดังแสดงไว้ในรูปที่ 7

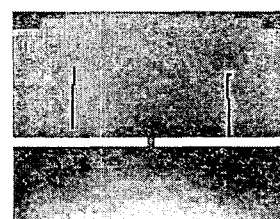


รูปที่ 8 แสดงลักษณะของการ Mesh Face Cavity

### 8. ผลการทดสอบ



รายละเอียด A1

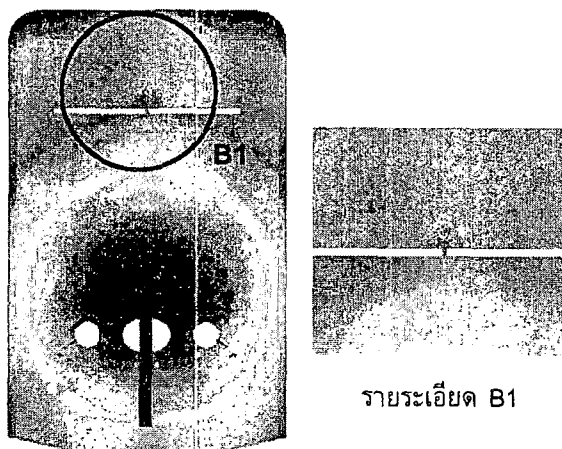


รายละเอียด A2

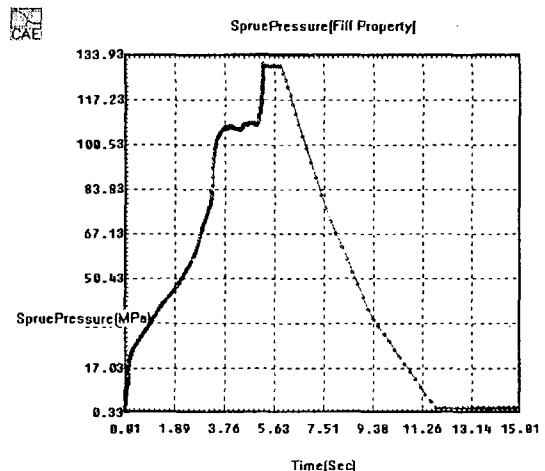
รูปที่ 10 ผลิตภัณฑ์ที่วิเคราะห์ด้วย CAE

ตารางที่ 2 Traditional Approach to a New Produce

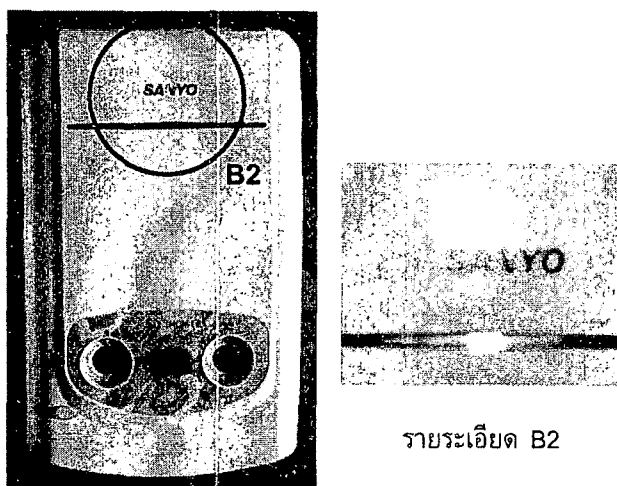
Stage	Description	Parameter	Units
Flow	Fill Time	5.000	Second
	Melt Temp	260.000	Celsius
	Mold Temp	60.000	Celsius
	Injection Pressure	200.000	Mpa
Pack	Pack Time	8.000	Second
	Pack Pressure	120.000	Mpa



รูปที่ 11 ผลิตภัณฑ์ที่วิเคราะห์ด้วย CAE



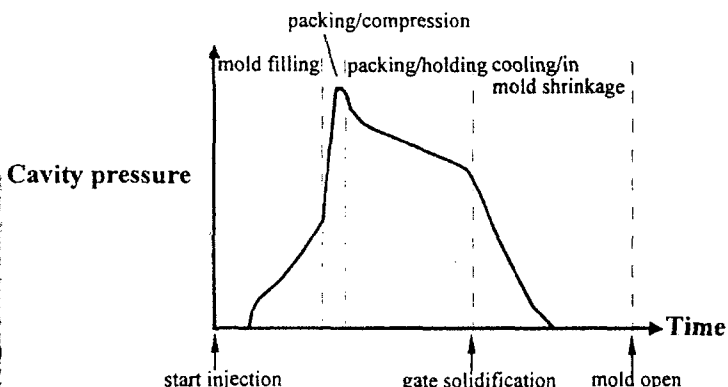
รูปที่ 13 กราฟแสดง Cycle การฉีดพลาสติกด้วย CAE Software



รูปที่ 12 ผลิตภัณฑ์ที่ได้แก้ไขปัญหาเส้นแนวเชื่อมแล้ว

### ตารางที่ 3 แสดงถึง CAE Approach Concurrent Engineering

Stage	Description	Parameter	Units
Flow	Fill Time	5.000	Second
	Melt Temp	265.000	Celsius
	Mold Temp	70.000	Celsius
	Injection Pressure	180.000	Mpa
Pack	Pack Time	10.000	Second
	Pack Pressure	130.000	Mpa



รูปที่ 14 กราฟแสดง Cycle การฉีดพลาสติกทางทฤษฎี

จากการที่แสดงไว้ข้างต้นในรูปที่ 13 แสดงถึงขั้นตอนการฉีดพลาสติกซึ่งแบ่งออกได้ 3 ส่วนคือในส่วนของการฉีด Mold fill จะใช้เวลาอยู่ระหว่าง 0.01 - 3.76 Sec ในส่วนของการย้ำความดัน Packing/Compression จะใช้เวลาอยู่ระหว่าง 3.76 - 5.63 Sec และในส่วนของ Packing/holding จะใช้เวลาอยู่ระหว่าง 5.63 - 15.01 Sec โดยในส่วนของการหล่อเย็น Cooling ไม่ได้นำเสนอไว้ เพราะในปัญหาการเกิดเส้นแนวเชื่อม Weld line จะมีผลก็ต่อเมื่ออยู่ในสภาวะ Mold Filling และ Packing/Holding

จากการในรูปที่ 14 ได้แสดงขั้นตอนการฉีดพลาสติกในทางทฤษฎีโดยแบ่งออกได้เป็น 4 ส่วนคือ Mold filling, Packing compression, Packing/holding and Cooling

## 8. แนวทางแก้ไขสำหรับปัญหาการเกิดเส้นแนวเชื่อม Weld line

ตารางที่ 4 แสดงถึงสาเหตุและการแก้ไขปัญหา การเกิดเส้นแนวเชื่อม

ส่วนที่ แก้ไข	สาเหตุที่ส่ง ผลให้เกิด Weld line	การแก้ไข
เครื่องจักร และขั้นตอนการผลิต	การหลอม ละลาย พลาสติกไม่มีดี	ปรับความเร็วในการฉีดพลาสติกให้สูงขึ้น
		ปรับการฉีดในช่วง Holding ให้สูงขึ้น
		ปรับอุณหภูมิของพลาสติกให้สูงขึ้น
		ปรับอุณหภูมิของแม่พิมพ์ให้สูงขึ้น
	พลาสติกไม่มีดีคุณภาพ	ปรับความดัน Packing/Hold ให้สูงขึ้น
		ลดความเร็วรอบของ Screw feed
		เพิ่มระยะเวลาในการหล่อเย็น
	กระบวนการ อากาศไม่มีดี	ขั้นตอนสุดท้ายของการเร็วในการฉีด ช่วงแรกให้ช้าลง ปรับแรงดันแม่พิมพ์ให้ น้อยลง
		ทำความสะอาดแม่พิมพ์
	มีวัตถุอ่อนโยน ตรงจุดเชื่อม ต่อ	อย่าพ่นน้ำยาหล่อลื่นแม่พิมพ์มากเกินไป
		เพิ่มระยะเวลาในการรอบเม็ดพลาสติกให้ เพียงพอ
แม่พิมพ์ และรั้ตติบ	-	ปรับระยะห่างจากทางเข้า Runner ทึบ รอยเส้นให้สั้นลง
		ปรับทางเข้าของ Runner ให้เหมาะสม
		ปรับกระบวนการอากาศให้ดี
		ปรับการไหลของพลาสติกให้ดี

## 6. สรุปผลการทดลอง

จากการทดลองด้วยโปรแกรมคอมพิวเตอร์ แล้วน้ำ  
ค่าที่ได้ไปผลิตจริงจะเห็นได้ว่าจำนวนของ Weld line ได้มี  
ปริมาณลดลงอย่างเห็นได้ชัดดังได้แสดงไว้ในรูปที่ 12 ซึ่งก่อน  
และหลังการแก้ไขค่าตัวแปรที่สนใจได้แสดงไว้ในตารางที่ 6

ตารางที่ 5 ตารางเปรียบเทียบเวลาและน้ำหนัก  
ของวัสดุที่เสียไป

Description	Times of trial and error [Hour]	Material Lost [Kg]
Traditional Approach	18 - 20	100 - 150
CAE Approach	10 - 15	20 - 50

และจากผลลัพธ์ดังกล่าวที่ช่วยลดปัญหาการเกิด Weld  
line แล้วยังช่วยลดวัสดุและประหยัดเวลาในขั้นตอนทดลอง  
Trial error ก่อนนี้ด้วยโดยได้แสดงไว้ในตารางที่ 5

ตารางที่ 6 ค่าตัวแปรที่สนใจก่อนการฉีด

Description	Traditional Approach	CAE Approach	Units
Machine capacity	350.00	350.00	Tons(m)
Melt Temp	260.00	265.00	Celsius
Mold Temp	60.00	70.00	Celsius
Resin (Hot resistant)	ABS	ABS	-
Fill Time	5.00	5.00	Second
Hold Time	8.00	10.00	Second
Open Time	3.00	3.00	Second
Eject Time	8.00	8.00	Second

จากเวลาที่ลดลงและจำนวนวัสดุที่สูญเสียน้อยลง เป็น  
ประโยชน์อย่างยิ่ง ด้วยบริษัทผู้ผลิตในการช่วยลดต้นทุนการ  
ผลิต และยังสามารถผลิตสินค้าสู่ท้องตลาดอย่างมีคุณภาพ

## 7. กิตติกรรมประกาศ

ขอขอบคุณ อาจารย์ฤทธิ์ รุ่นศร สำหรับข้อมูลด่างๆที่  
เป็นประโยชน์ต่องานวิจัยฉบับนี้ บิดา, มารดา และเพื่อนคู่ใจที่  
ให้กำลังใจและช่วยเหลือเป็นอย่างดี

## เอกสารอ้างอิง

- [1] William S. Janna. "Introduction to fluid mechanics ". Third edition, Boston : PWS Publishing, 1993
- [2] A.J.Baker. " Finite element Computational Fluid Mechanics ". Second edition, New York: McGraw-Hill, 1985
- [3] SAS IP, Inc, " ANSYS Theory reference. Eighth Edition "
- [4] Advanced CAE Technology, Inc. 3D-C-MOLD QUICKFILL, 1987-1999
- [5] Saeed Moaveni " Finite Element Analysis Theory and Application with ANSYS " Prentice-Hall, Inc. 1999

- [6] A.J. Baker " Finite Element Computational Fluid Mechanics " McGraw-Hill, Inc 1985
- [7] John D. Anderson, Jr. " Computational Fluid Dynamics " McGraw-Hill, Inc 1995
- [8] Frank M. White " Fluid Mechanics " McGraw-Hill, Inc New-York 1986
- [9] HsinChu. "Moldex Theoretical Guide" Coretech Corporation, Inc. 1995 - 1996
- [10] พิชิต เลี่ยมพิพัฒน์. " พลาสติก ". พิมพ์ครั้งที่ 9, กรุงเทพมหานคร : มิตรนราการพิมพ์, 2532
- [11] วีโรจน์ เดชะวิญญาธรรม. " งานฉีดพลาสติก ". กรุงเทพมหานคร : เม็ดทรายพริง ติ๊ง, 2540